

以成为因果的。总结地看，设计的FIR（可以办到）是因果稳定的。

③ 同样因为 $h(n)$ 有限长，所以可以用FFT快速算法实现信号过滤，这就给FIR的应用带来了很大的实用性。

④ 在相同性能要求的情况下，FIR滤波器的阶次要比同时的IIR滤波器高，这是其不足之处

⑤ FIR滤波器的系统函数是 z^{-1} 的多项式，IIR滤波器的系统函数是 z^{-1} 的有理分式，这是从 $H(z)$ 结构上看出的不同

⑥ FIR滤波器可以更灵活地设计出正交变换器，线性微分器及其他任意频率特性的滤波器
FIR滤波器系统函数基本表征为

$$H(z) = \sum_{n=0}^{N-1} h(n)z^{-n} \quad (1)$$

这是 z^{-1} 的 $N-1$ 阶多项式

下面我们从线性相位的约束出发，先讨论一下时域上的 $h(n)$ 的特征。

取(1)式中 $z = e^{j\omega}$ 即得 $h(n)$ 的傅里叶变换，记 $H(e^{j\omega})$ 。将其写成幅值和相角两部分，为

$$H(e^{j\omega}) = |H(e^{j\omega})|e^{j\theta(\omega)} \quad (2)$$

按线性相位要求，即

$$\frac{d\theta(\omega)}{d\omega} = -\tau, \tau \text{ 是常数}$$

可以细分为两类

$$\theta(\omega) = \begin{cases} -\omega \cdot \tau \\ -\omega \cdot \tau + \beta \end{cases} \quad (3)$$

这里的 τ, β 都是常数

将(3)代入到(2)中，我们先讨论第一类线性相位，有

$$H(e^{j\omega}) = \sum_{n=0}^{N-1} h(n)e^{-jn\omega} = H(\omega)e^{j\theta(\omega)} = H(\omega)e^{-j\omega\tau} \quad (4)$$

将(4)按实部，虚部展开，则

$$\begin{aligned} \sum_{n=0}^{N-1} h(n) \cos \omega n &= H(\omega) \cos \omega \tau \\ \sum_{n=0}^{N-1} h(n) \sin \omega n &= H(\omega) \sin \omega \tau \end{aligned} \quad (5)$$

将(5)中两式相除消去 $H(\omega)$ ，可以得到

$$\sum_{n=0}^{N-1} h(n) \cos \omega n \cdot \sin \omega \tau = \sum_{n=0}^{N-1} h(n) \sin \omega n \cdot \cos \omega \tau \quad (6)$$

利用三角公式 $\sin(\alpha \pm \beta) = \sin \alpha \cos \beta \pm \cos \alpha \sin \beta$ 将(6)式再整理为

$$\sum_{n=0}^{N-1} h(n) \sin(\tau - n)\omega = 0 \quad (7)$$

所以说，第一类线性相位约束 $\theta(\omega) = -\omega \cdot \tau$ 最终等价于(7)式所表明的，我们关注到：当 $\tau = (N-1)/2$ 时，且 $h(n)$ 关于中心点 $(N-1)/2$ 偶对称时，对于序列 $\{h(n)\sin(\tau - n)\omega\}$ 来说总体是

对中心点 $(N-1)/2$ 奇对称的，满足了(7)式——亦即符合第一类线性条件。

对于第二类线性条件 $\theta(w) = -w \cdot \tau + \beta$ ，可以经由类似的过程得到对 $h(n)$ 在时域上的约束结果，这里就不详细展开了，最终可等价地表示为

$$\sum_{n=0}^{N-1} h(n) \sin[(\tau - n)w - \beta] = 0 \quad (8)$$

通常的，对于FIR滤波器， 90° 移相作用也是常出现地一类应用（譬如希尔伯特变换器）。因此，取 $\beta = \pm\pi/2$ 是常见的，在此补充条件下，(8)等效地表为

$$\sum_{n=0}^{N-1} h(n) \cos(\tau - n)w = 0 \quad (9)$$

这要求 $h(n)$ 关于中心点 $(N-1)/2$ 奇对称且 $\tau = (N-1)/2$ 。总结一下，两类线性相位的约束约束条件为

第一类线性约束 $\theta(w) = -w \cdot \tau$	$h(n) = h(N-1-n),$ $0 \leq n \leq N-1$	$\tau = \frac{N-1}{2}$
第二类线性约束 $\theta(w) = -w \cdot \tau \pm \pi/2$	$h(n) = -h(N-1-n),$ $0 \leq n \leq N-1$	$\tau = \frac{N-1}{2}$

即将进一步看到，按照 N 的奇偶划分，又可以再细分为四类FIR线性相位滤波器。

以上是从时域角度，或者说是从 $h(n)$ 的考察，基于此，讨论 $H(e^{jw})$ 的不同情形，需要注意的是，由于线性相位已经得到了约束，仅需讨论 $H(e^{jw})$ 的幅频函数 $H(w)$ 即可（参考(2)式）

分析思路是这样的，由于已经知道 $h(n) = \pm h(N-1-n)$ ，自然想到利用 z 变换性质，也就是 $Z\{\pm h(N-1-n)\} = \pm z^{-(N-1)}H(z^{-1})$ （利用了移位性质和翻褶性质），有

$$\begin{aligned} H(z) &= \frac{1}{2} Z\{h(n) \pm h(N-1-n)\} \\ &= \frac{1}{2} [H(z) \pm z^{-(N-1)}H(z^{-1})] \\ &= \frac{1}{2} \sum_{n=0}^{N-1} h(n) [z^{-n} \pm z^{-(N-1)}z^n] \\ &= z^{-\frac{N-1}{2}} \sum_{n=0}^{N-1} h(n) \frac{z^{\frac{N-1}{2}-n} \pm z^{-(\frac{N-1}{2}-n)}}{2} \end{aligned} \quad (10)$$

将 z 以 e^{jw} 替换之，先对第一类线性相位做讨论，也就是(10)中 \pm 取+的情形，稍作整理，得到下式

$$H(e^{jw}) = e^{-j\frac{N-1}{2}w} \cdot \sum_{n=0}^{N-1} h(n) \cos\left[\left(\frac{N-1}{2} - n\right)w\right] \quad (11)$$

马上可以观得 $H(w)$ 的结构，我们利用(10)式，再对第二类线性相位做讨论（也就是对 \pm 取-），可以得到类似的结论，相关结果记于下表中

Typel	$\theta(w) = -w \cdot \tau$	N 为奇数	$H(w) = \sum_{n=0}^{N-1} a(n) \cos nw$ $a(n) = 2h\left(\frac{N-1}{2} - n\right),$ $a(0) = h\left(\frac{N-1}{2}\right),$ $n = 1, 2, \dots, \frac{N-1}{2}$
Typell		N 为偶数	$H(w) = \sum_{n=0}^{N-1} b(n) \cos\left(n - \frac{1}{2}\right)w$ $b(n) = 2h\left(\frac{N}{2} - n\right),$ $n = 1, 2, \dots, \frac{N}{2}$
Typelll	$\theta(w) = -w \cdot \tau$ $\pm\pi/2$	N 为奇数	$H(w) = \sum_{n=0}^{N-1} c(n) \sin nw$ $c(n) = 2h\left(\frac{N-1}{2} - n\right),$ $n = 1, 2, \dots, \frac{N-1}{2}$
TypelV		N 为偶数	$H(w) = \sum_{n=0}^{N-1} d(n) \sin\left(n - \frac{1}{2}\right)w$ $d(n) = 2h\left(\frac{N}{2} - n\right),$ $n = 1, 2, \dots, \frac{N}{2}$

图表 1

(2) FIR窗函数设计法原理

窗函数设计法是一种FIR时域设计方法，通过对理想的低通/高通/带通/带阻滤波器的 $h(n)$ 进行“加窗”处理使其变成有限长的，同时符合我们前面讨论的线性的线性相位条件。

毫无疑问，加窗过程是这里的核心问题，我们设理想的数字滤波器冲激响应为 $h_d(n)$ （马上会看到，这是一个无限长的），并有窗函数 $w(n)$ ，所谓的“加窗”就是

$$h(n) = h_d(n) \cdot w(n) \tag{12}$$

表现在频域上，由卷积定理，有

$$H(e^{j\omega}) = \frac{1}{2\pi} H_d(e^{j\omega}) * W(e^{j\omega}) \quad (13)$$

无疑，实际的 $H(e^{j\omega})$ 与理想情形—— $H_d(e^{j\omega})$ 是有一定差别的，这与 $W(e^{j\omega})$ 的选取有关，在这里，我们先考虑低通/高通/带通/带阻的各理想情况。

对于理想线性相位低通滤波器，应有

$$H_d(e^{j\omega}) = \begin{cases} e^{-j\omega\tau}, & 0 \leq |\omega| \leq \omega_c \\ 0, & \omega_c < |\omega| \leq \pi \end{cases}$$

ω_c 是理想的截止频率，是通频带和阻带的交界。由离散傅里叶变换逆变换得

$$\begin{aligned} h_d(n) &= \frac{1}{2\pi} \int_{-\pi}^{\pi} H_d(e^{j\omega}) e^{j\omega n} d\omega \\ &= \frac{1}{2\pi} \int_{-\omega_c}^{\omega_c} e^{-j\omega\tau} e^{j\omega n} d\omega \\ &= \frac{\sin[\omega_c(n-\tau)]}{\pi(n-\tau)}, \quad n \neq \tau \\ &= \frac{\omega_c}{\pi}, \quad n = \tau (\tau \text{是整数}) \end{aligned} \quad (14)$$

经过前面的讨论，可以知道 $\tau = (N-1)/2$

对于带通滤波器，这可以理解为一个截止频率为 ω_2 的低通滤波器减去一个截止频率为 ω_1 的低通滤波器；对于高通滤波器，可以认为是一个全通滤波器减去一个低通滤波器来实现；对于带阻滤波器，这可以认为是一个全通滤波器减去一个带通滤波器来实现。

例如截止频率为 ω_c 的高通滤波器，它的单位抽样响应就为

$$h_d(n) = \begin{cases} -\frac{\sin[\omega_c(n-\tau)]}{\pi(n-\tau)}, & n \neq \tau \\ 1 - \frac{\omega_c}{\pi}, & n = \tau (\tau \text{是整数}) \end{cases} \quad (15)$$

(3) 窗函数的选择

在加窗处理后，原 $h_d(n)$ 无限长被处理为 N 点长 $h(n)$ ，由于我们使用的窗函数也是线性相位的，所以加窗后仍是线性相位的。

在实际设计中，需要的技术参数有阻带最小衰减 A_s 和过渡带宽 $\Delta\omega$ ，这是由窗函数的类型和其点数 N 共同决定的，这一领域已经总结了基本的内容，如下表所示

窗函数	窗谱性能分析		加窗后滤波器性能指标		
	旁瓣峰值 (dB)	主瓣宽度	滤波带宽	阻带最小衰减 (dB)	通带边沿衰减 (dB)
矩形窗	-13	$4\pi/N$	$1.8\pi/N$	21	.815
三角窗	-25	$8\pi/N$	$6.1\pi/N$	25	.503
升余弦窗	-31	$8\pi/N$	$6.2\pi/N$	44	.055
汉明窗	-41	$8\pi/N$	$6.6\pi/N$	53	.021

图表 2

有了表格中的总结, FIR滤波器窗函数设计变得有迹可循, 首先是根据要求中阻带的最小衰减确定窗函数形状, 再有过渡带宽确定窗长, 也就是其点数 N , 为了频谱分析的方便, 我们常将加窗后的序列补零到2的整数幂长度。

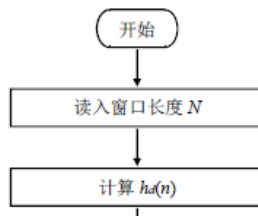
二、实验仪器设备（标注实验设备名称及设备号）

装有 **Matlab R2018a** 的计算机一台

三、实验线路示意图、内容步骤

(1) 设计理想低通滤波器 $h_d(n)$

从总体框架上看, 程序的设计可以包括对三部分序列的产生与分析, 也即是 $h_d(n), w(n), h(n)$ 。我们首先产生理想低通滤波器的冲激序列 $h_d(n)$



这部分的实现是基于式(14)的工作, 需要注意, 由于我们只能处理FIR序列, 而(14)给出的序列自身是无限长的, 所以隐含一个截断的过程——也就相当于加了一个平凡的矩形窗; 还要注意, 由于在 $\tau = (N - 1)/2$ 处 $\sin[w_c(n - \tau)] / \pi(n - \tau)$ 是“分子分母同时为零”, 所以我们在这里专门给出其值为 w_c/π 。在实际处理中, 可以不必一定分段处理, 而要使 $n - \tau$ 加上一个小量 **eps(1e-10)**这样我们就可以利用 $\sin[w_c(n - \tau)] / \pi(n - \tau)$ 一致求解 $h_d(n)$ 了。下面就是本次用于产生理想低通的函数代码,

N 是截断点数

```

function [hd, tau] = ideallp(wc, N)
% Ideal low-pass digital filter(with cut-off angular frequency wc)
tau = (N-1)/2;
n = 0:N-1;
m = n - tau + eps; % Avoid ZeroDivision Error
hd = sin(wc * m)./(pi * m);
  
```

end

由于这里涉及到的FIR滤波器总是线性相位的，我们可以利用图表 1 中的结论，对四种类型的FIR滤波器求其幅值函数 $H(\omega)$ （当然也可以利用在实验二中编写的 `fft_anlysis` 进行分析），通过编写函数 `amplres` 完成对任一种FIR滤波器的分析

具体的编写参考了书本 P541 的内容，有较大的参考意义——因其写法简练，通过模余式 `mod(N, 2)` 隐式地完成了分支处理，调用格式为

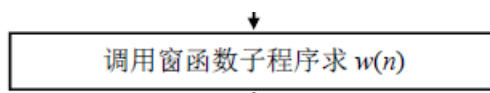
```
function [Hw, w, type] = amplres(h, M)
```

其中 `h`，`M` 分别对应于FIR滤波器的冲激响应和频域分析点数，`Hw`，`w`，分别是其幅频函数以及对应的频域向量（是一个 `M` 点向量），`type` 表明了FIR滤波器的类型，与图表 1 中的记法完全一致。

这个函数的具体实现过程见附录

再强调一下，由于本实验均是对FIR序列 $(h_d(n), w(n), h(n))$ 做处理，所以函数 `amplres` 在其频域分析有相当的通用性。从计算量角度来说，它的计算量也并不大（主要是进行余弦或正弦的运算，这在FFT快速算法同样出现）

(2) 设计窗函数 $w(n)$



这里我们利用 Matlab 内置的函数

```
w = hanning(N);  
w = hamming(N);  
w = rectwin(N);  
w = triang(N);
```

求解窗函数的时域FIR序列，上述各窗函数均接受窗长 `N`，并返回 `w`（这是一个列向量），即为对应的窗函数 $w(n)$

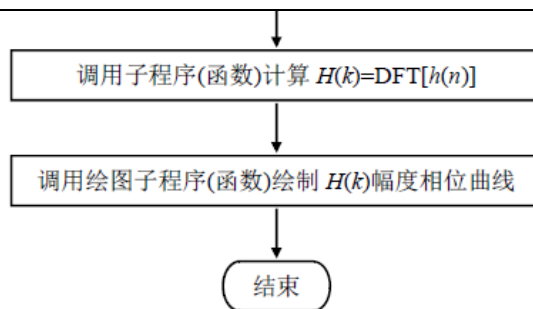
在实验的第二部分，要求用四种窗函数分别设计并分析，所以设计一个简单的分支程序完成处理

```
function w = choose_win_type(win_type, N)
```

`win_type` 是自定参数，决定窗函数的类型。

随后同样设计绘图程序打印序列 `w` 以及其幅度频谱（可由 `amplres` 生成）

(3) 加窗产生 $h(n)$ 并作频域分析



如(12)式所表明的, 我们加窗得到希望的FIR序列

```
h = wn.*hd; % Get your window
```

(在前面 wn 已经转置为一个行向量

```
wn = choose_win_type(win_type, N)';  
)
```

这里需要得到其dB 表征的对数幅频曲线, 可以利用之前实验使用到的自定函数

```
function [db, mag, pha, grd, w] = freqz_m(b, a, M)
```

其中的关键步骤是

```
[H, w] = freqz(b, a, M*2, 'whole');  
H = H(1:M)'; w = w(1:M)';  
mag = abs(H);  
db = 20*log10((mag+eps)/max(mag));
```

还要注意, 函数 `freqz_m` 接受的是一组多项式向量 `b`, `a` 以及频域抽样点数 `M`。我们在开头提到过, FIR滤波器的系统函数是 z^{-1} 的多项式——也就是说, 它的分母多项式为`[1]`, 分子多项式就为 `h` 自身

所以这里的调用过程为

```
[db, mag, pha, grd, w] = freqz_m(h, [1], M);
```

此外, 由于频域抽样响应函数 `freqz` 有关DFT的内容, 所以隐含涉及到FFT快速算法, 不再需要额外实现。

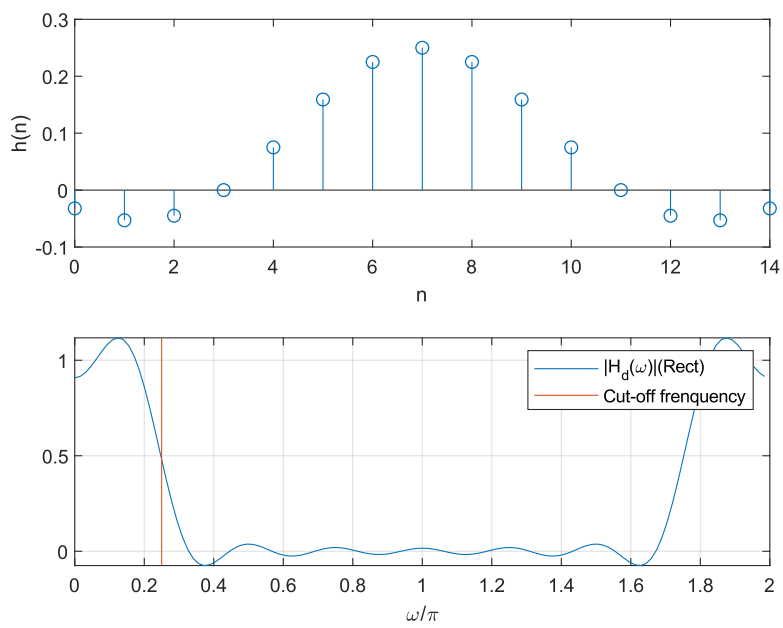
四、实验数据记录及数据处理

并参考附录代码中的 `experiment recipe` 部分

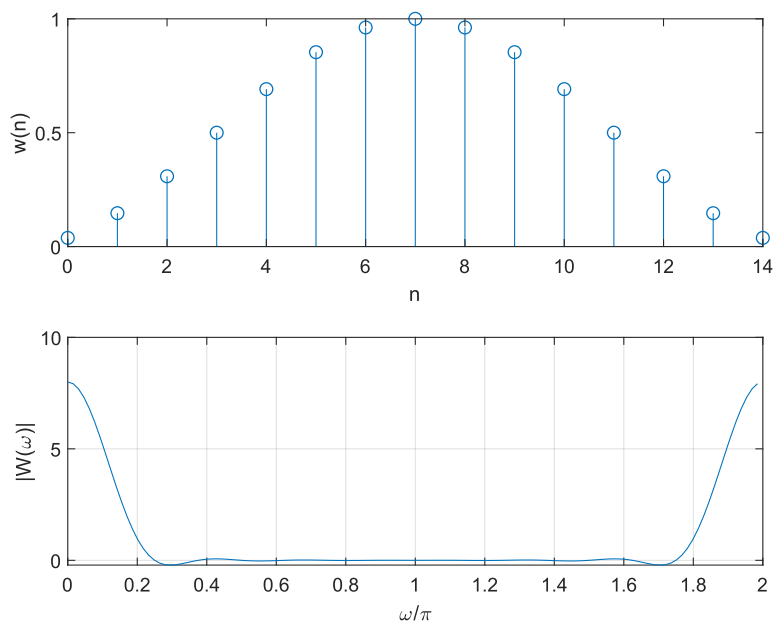
(1) EXP1

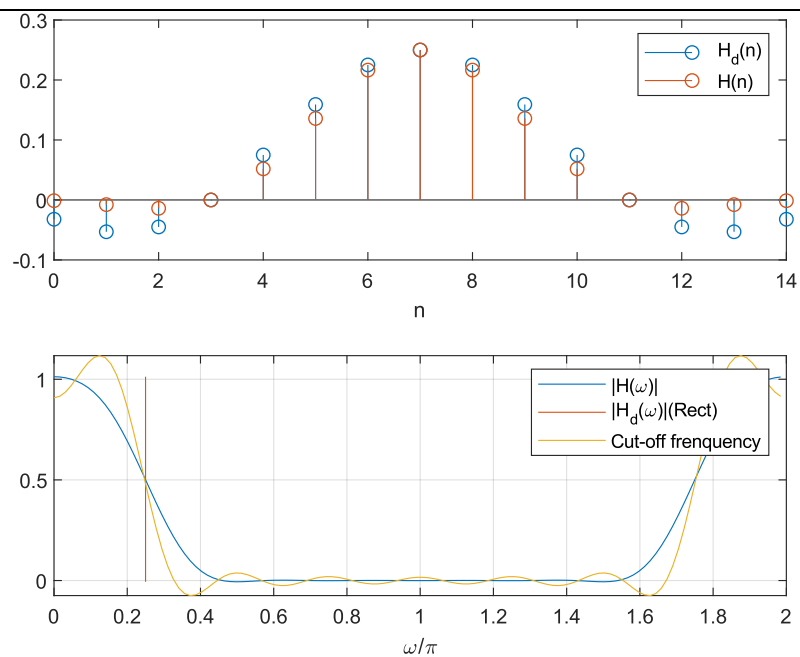
实验的第一部分的主要内容是, 用升余弦窗(即 `hanning` 窗)设计一个 `N` 点长低通FIR滤波器, 分别取 `N=15` 和 `N=33`(由于 `N` 是奇数, 结合 `hd` 序列关于 `tau` 偶对称的特点, 得知这总是 `Typel`),

当 `N=15` 时候, $h_d(n), w(n), h(n)$ 分别为



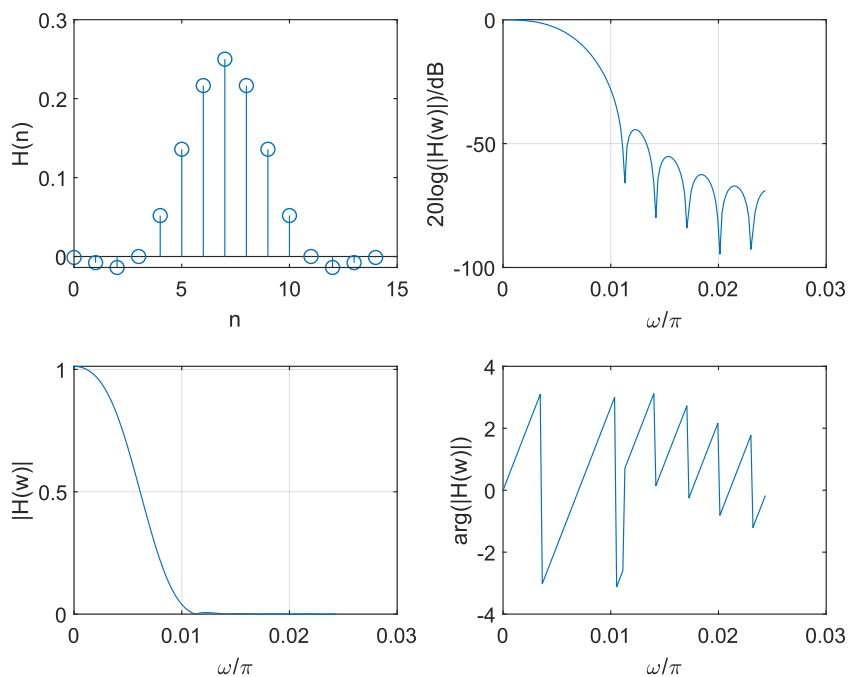
从图中也可看出，由于 h_d 被截断到 N 点长，相当于加了平凡的矩形窗，得到的幅频曲线有了明显的过渡带，且有波纹波动。而在设计的 $\omega_c(\pi/4)$ 处是其三分贝点。



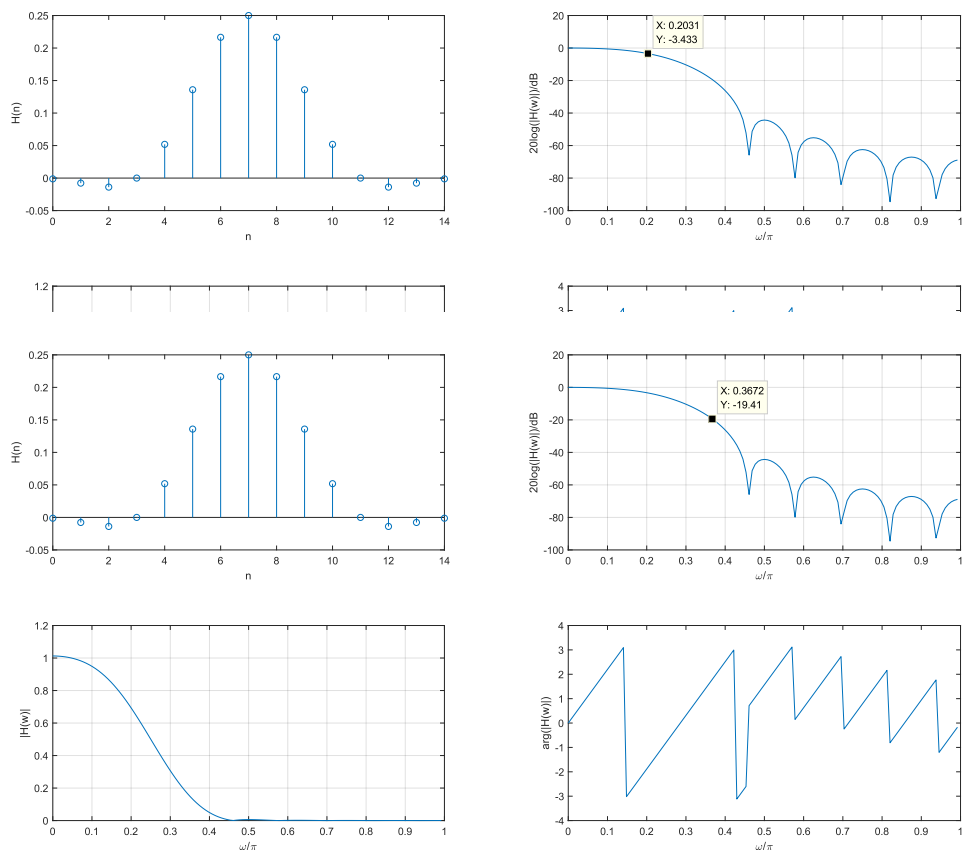


上图中 $H_d(\omega)$ 与Cut-off frequency标注应交换一下

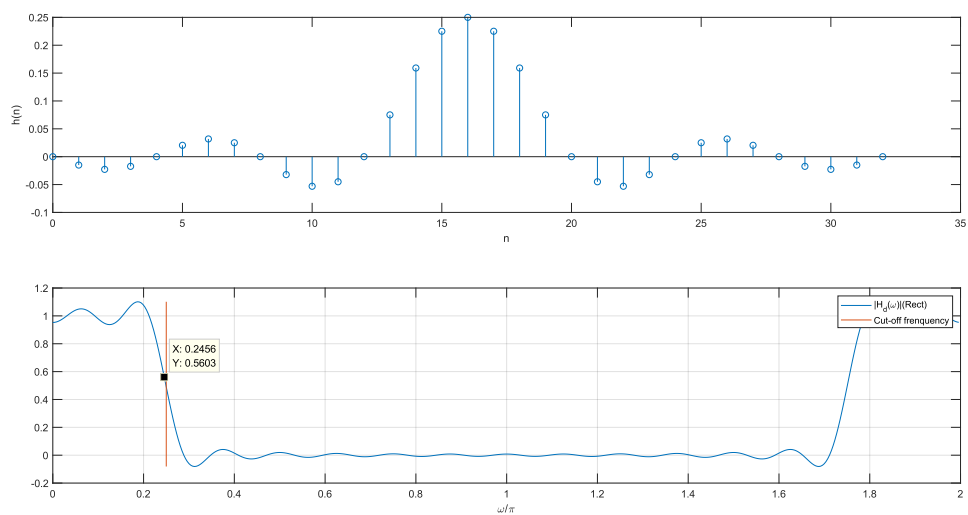
设计出的窗函数幅频曲线为



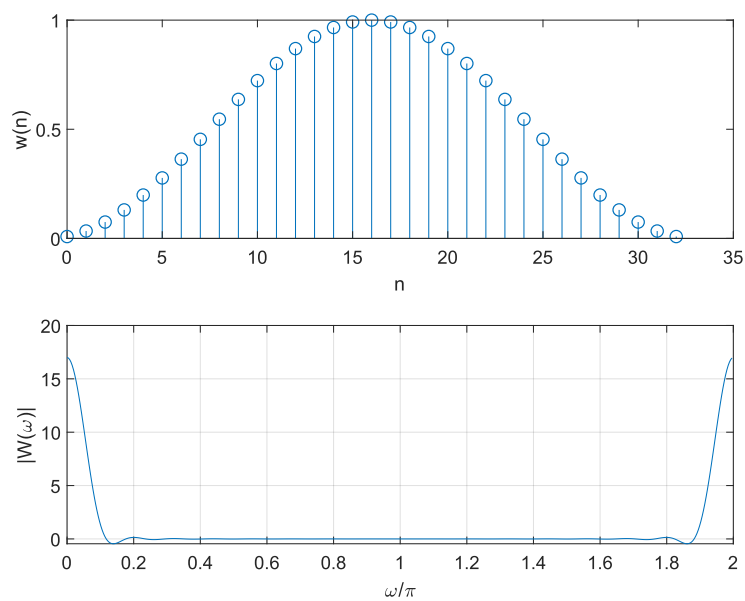
特别观察3dB 和20dB 点



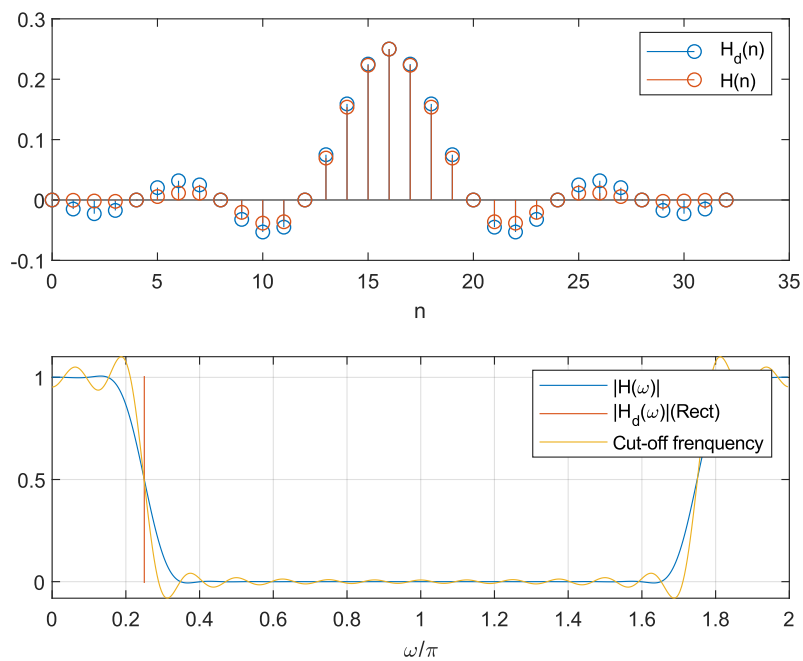
当 $N=33$ 时, 再做设计, 有



相较于 $N=15$ 时的情形, 可直观地感受到阻带衰减变快了, 同时 w_c 的三分贝点特征并未改变(注意这是未加汉宁窗的情形)

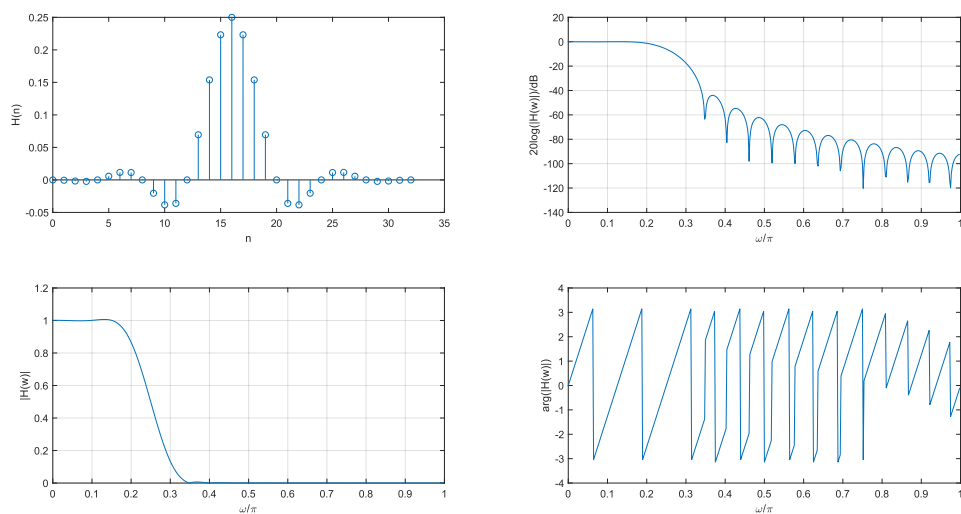


加窗后为：

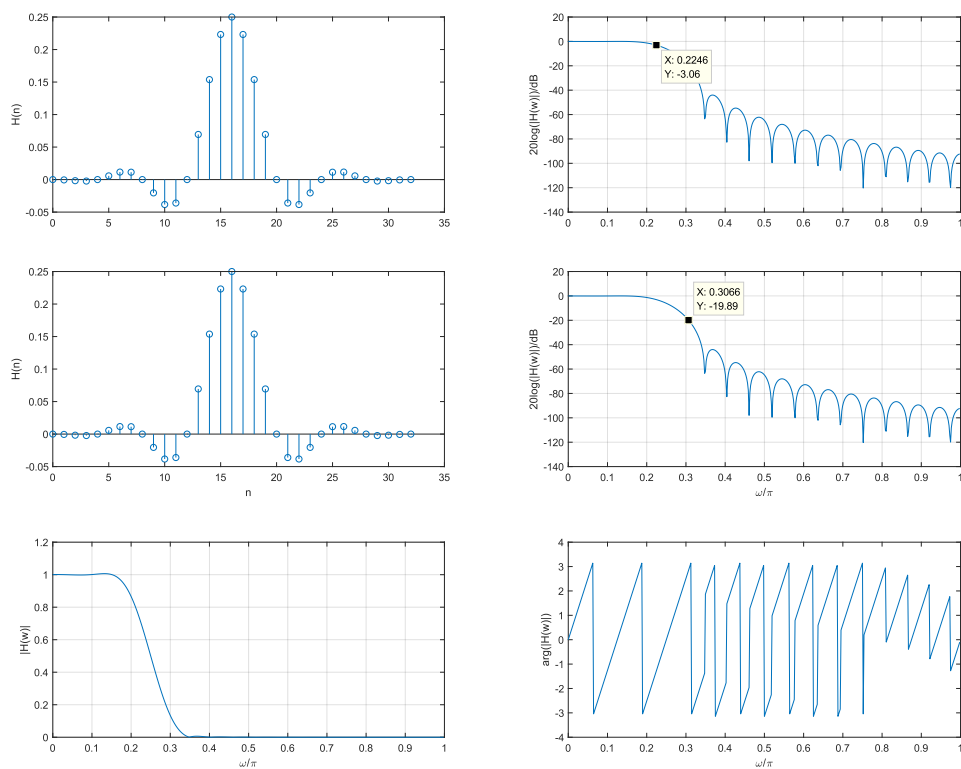


上图中 $H_d(\omega)$ 与Cut - off frequency标注应交换一下

同样从幅频角度分析，作图为



再次观察3dB 和20dB点



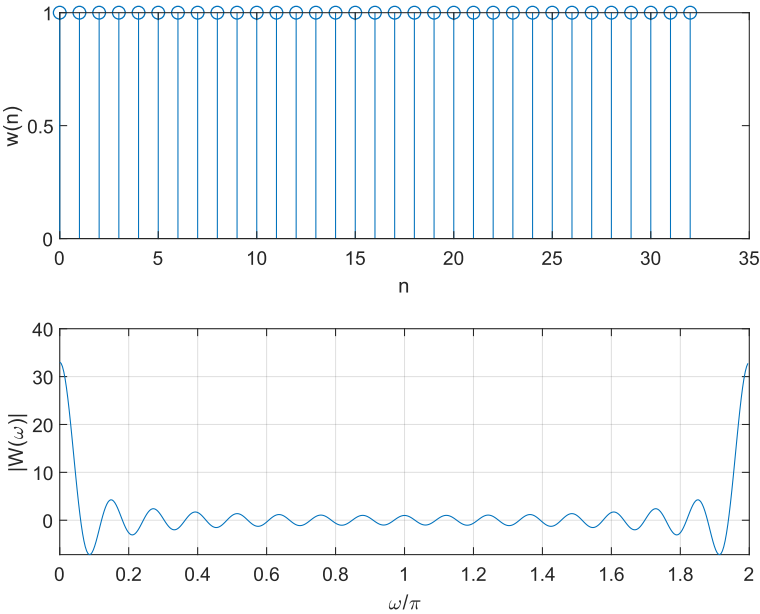
明显注意到，3dB ~20dB 这一段的带宽，相较于点数更少的 $N=15$ 的情形，已经收窄了。

从中我们可以定性地说明，窗长 N 越大，过渡带宽就越窄，另外从阻带衰减的角度看，两次加升余弦窗，阻带衰减都略大于 40dB，没有明显差别。这也说明了阻带衰减要依靠窗函数的类型决定，且与图 2 给出的技术指标是一致的。

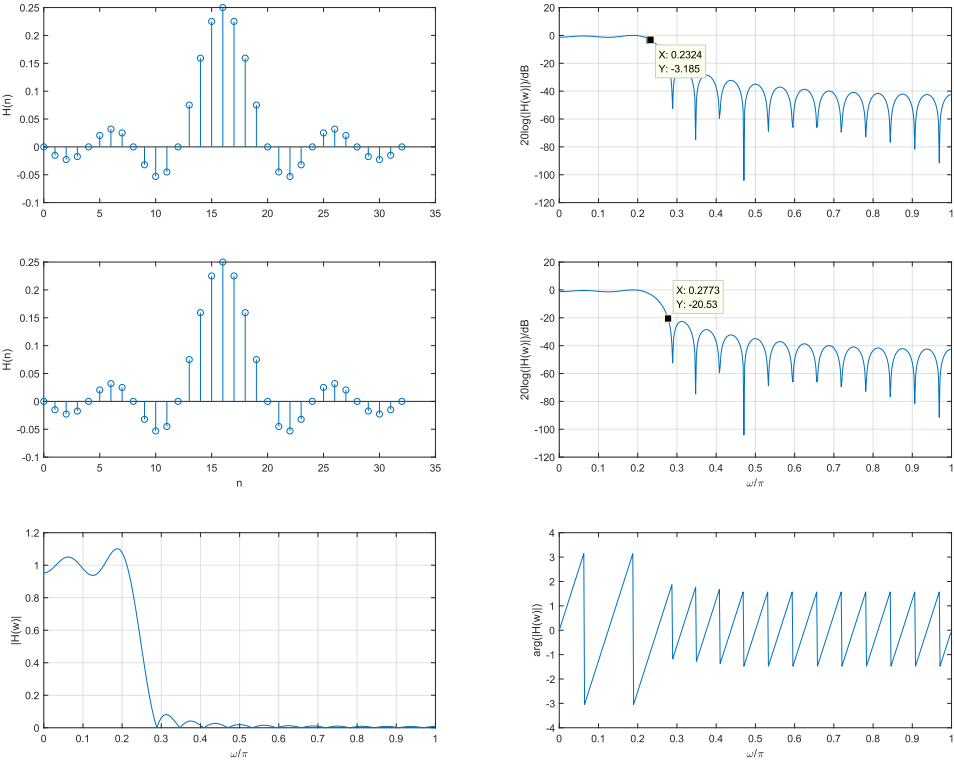
(2) EXP2

实验的第二部分，要求我们取定 $N=33$ ， $w_c = \pi/4$ 不变，考察不同窗类型的影响。

先来看最简单的矩形窗，如前所述，我们对 h_d 的自然 N 点截断事实上就是加过矩形窗的了，单独给出矩形窗的特性



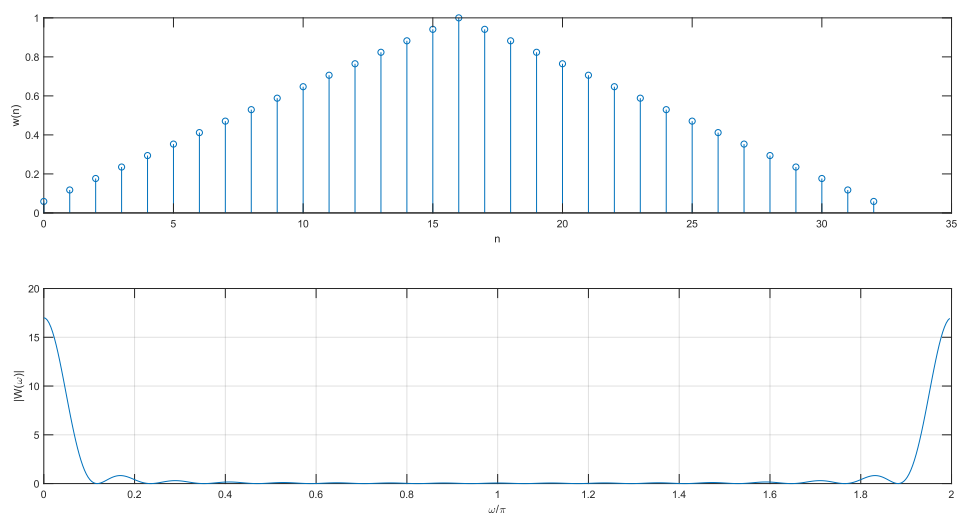
其幅频特性为



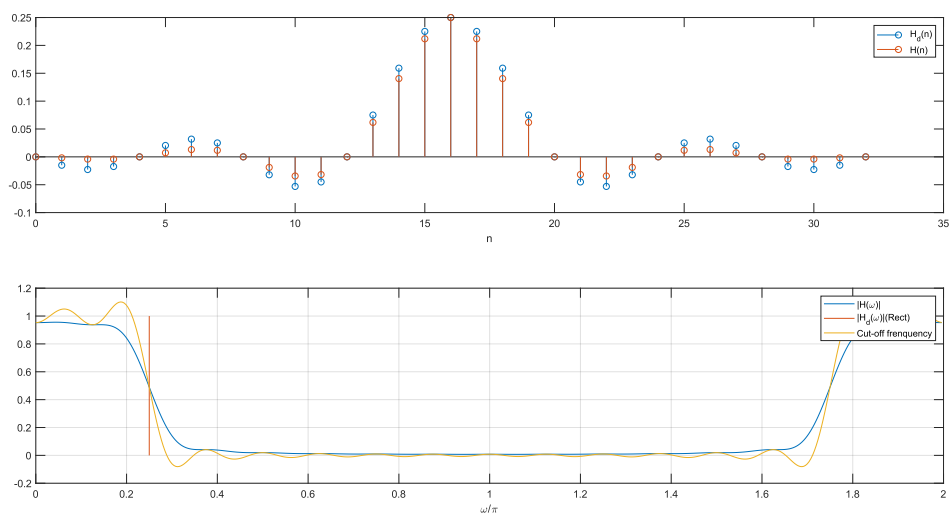
观察得到矩形窗的阻带衰减只有 20dB 左右 (21dB)，过渡带带宽约在 $.04\pi$ 左右 (0.0545π)

下面来看使用三角窗的结果

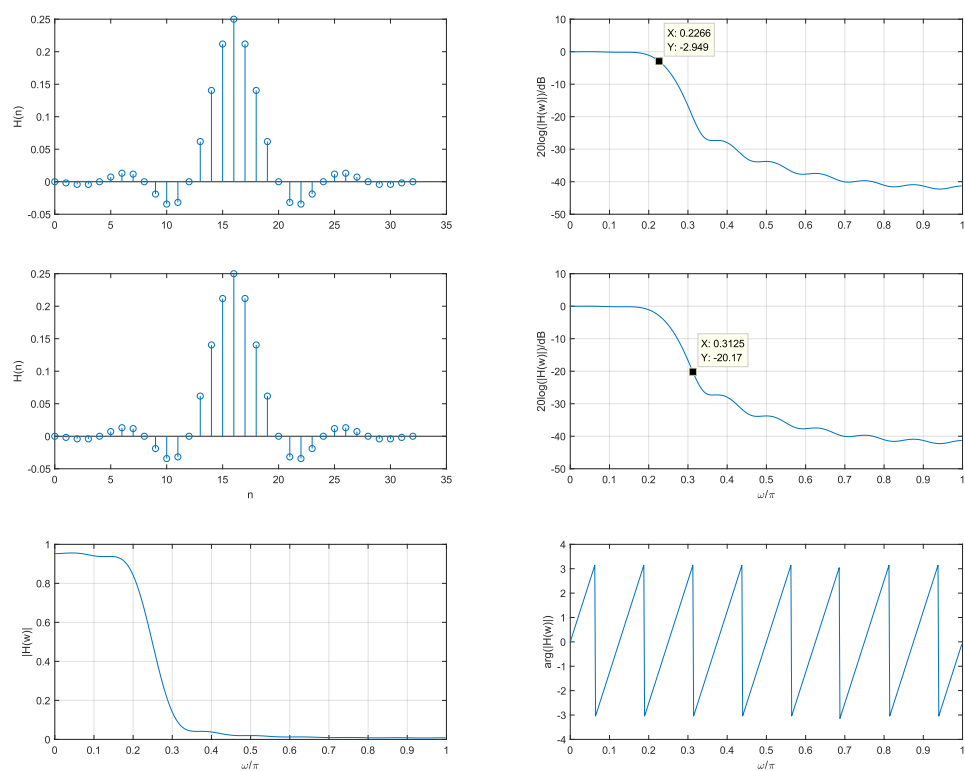
三角窗自身为



加窗后



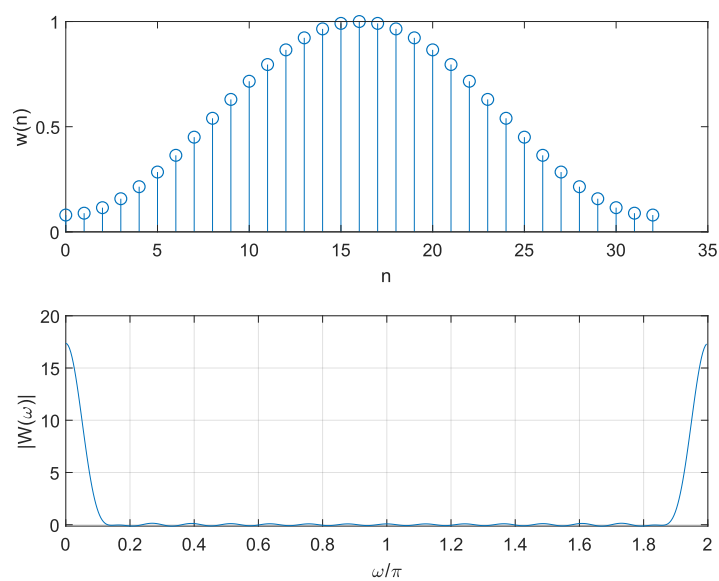
幅频特征为



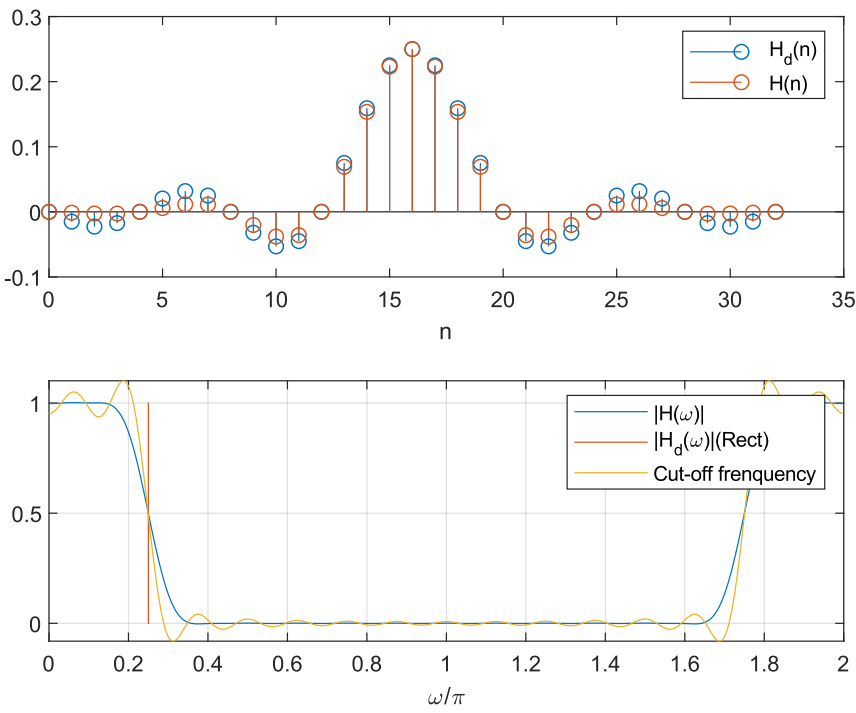
可以观看到其阻带衰减也不大 (25dB), 过渡带带宽大致为 18π (0.01848π)

最后来看使用汉明窗的结果

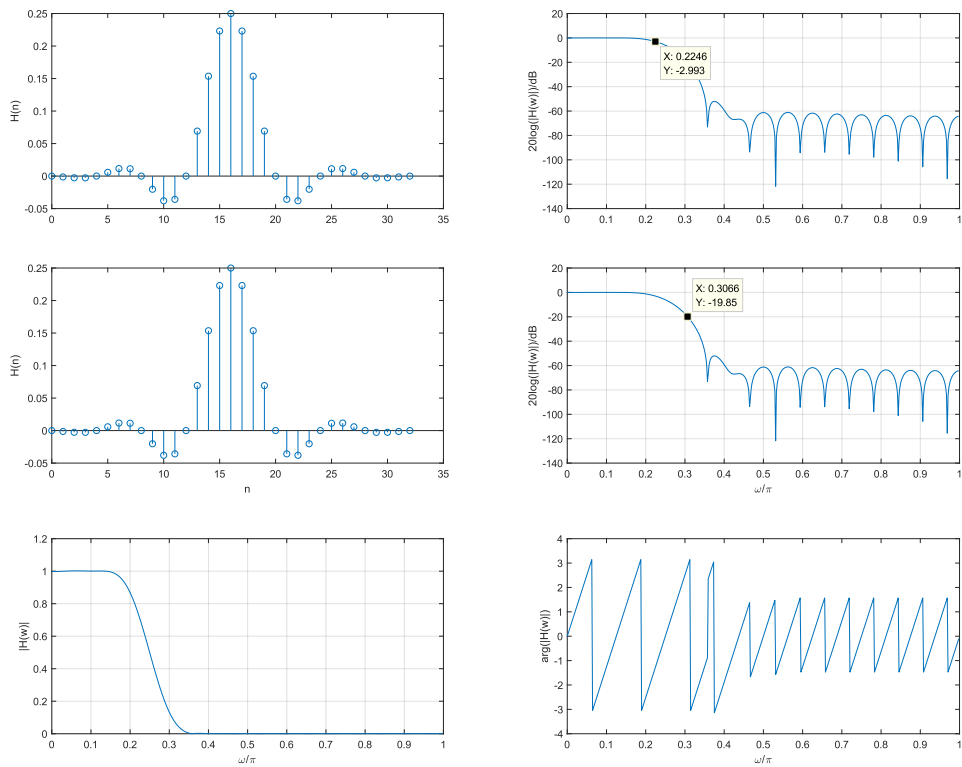
其自身为



加窗后



幅频特征为



可以观察汉明窗的阻带也介于 40dB 与 60dB 之间，比升余弦窗的要大一点（53dB），过渡带宽约

为 $.16\pi(.20\pi)$

五、实验结论探讨及分析

通过本实验，我们掌握了FIR数字滤波器窗函数设计法基本设计方法，首先我们由理想低通/高通/带通/带阻数字滤波器原型求出截断为 N 点长的 $h_d(n)$ ，随后按照选定窗函数类型，有 $w(n)$ 加窗得到 $h_d(n)w(n)$ 。在频域上，根据(13)式阐明的基本原理，可以知道加窗后的频谱将与理想情形不同，并有过渡带宽，阻带最小衰减等技术参数。

窗函数法是一种基本的FIR数字滤波器时域设计办法，效果与窗长和窗口类型有关。通常地说，当窗口类型越缓变，其旁瓣峰值越小，带来的阻带衰减就越大，于此同时主瓣宽度也会随之增大，导致过渡带宽的增加。为了进一步减小过渡带宽（到我们希望的范围），基于同一种窗口类型，窗长 N 越大，带来的过渡带宽越小。在实验中，同样印证了这一点，先后取 $N=15, 33$ 并有四种不同窗类型选择，给我们对其设计带来了总体上的认识。

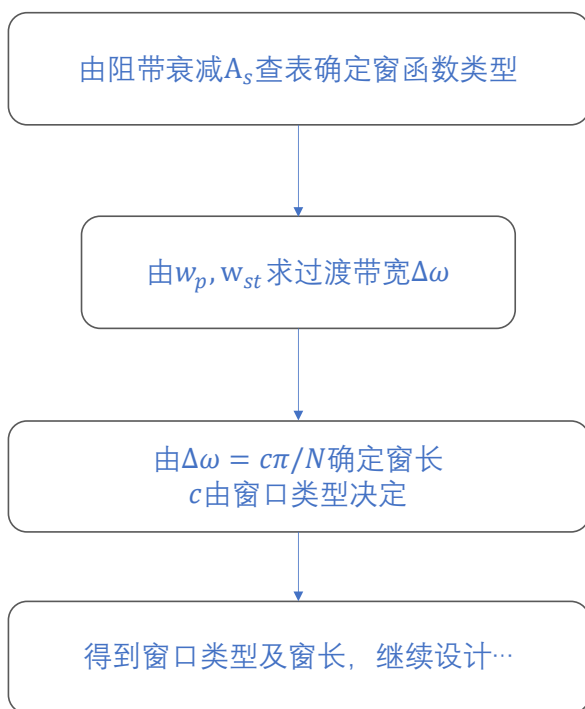
总的来看，窗函数设计法是一种模式固定的FIR设计办法，通过“求解参数->设计窗函数->加窗->验证”一系列流程，得到需要的滤波器类型。（基于技术参数的确定参考[思考题 1](#)）

思考题：

1. 如果给定通带截止频率 w_p 和阻带衰减频率 w_{st} ，以及阻带最小衰减 A_s ，如何用窗函数法进行设计？

通过实验我们可以知道，在设计过程中，我们只需要窗长 N 和窗口类型就足以完成。实验中 N 和 ω_c 均已事先给出，在本问中则并没有出现，所以我们需要根据技术参数 w_p, w_{st}, A_s 共同决定

在实验原理部分[窗函数的选择](#)中我们已经介绍了基本方法，这里通过流程图再引述一遍

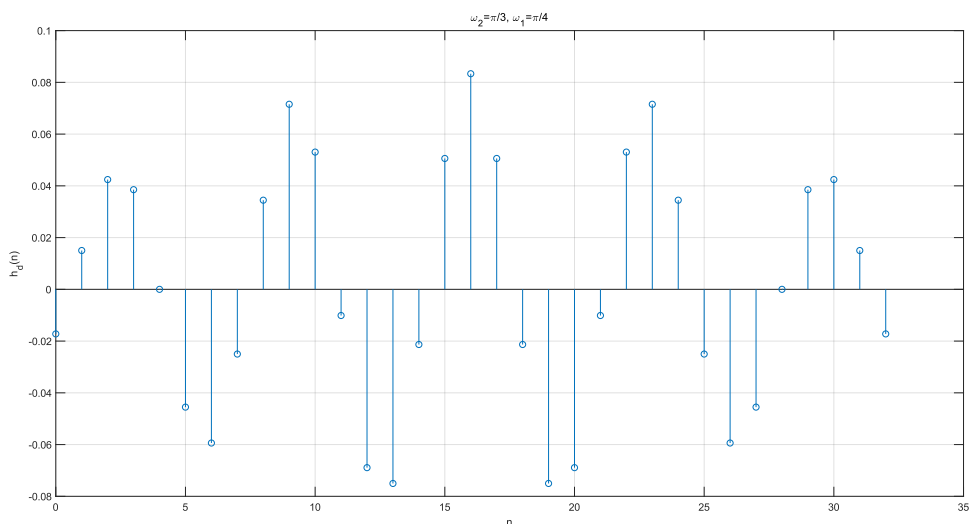


其中，图表 2 已经列出了常见的几种窗函数及其技术指标类型，确定窗长 N 和窗口类型之后进而可按本实验步骤进行下去。

2. 如果要求窗函数设计法设计带通滤波器，给定上下边截止频率为 ω_1, ω_2 ，求其理想带通的单位脉冲响应在本报告 P4 页简单说明了如何将带通/带阻/高通滤波器理解为低通滤波器与全通滤波器的组合，按照说明“带通滤波器，这可以理解为一个截止频率为 ω_2 的低通滤波器减去一个截止频率为 ω_1 的低通滤波器”（保证 $\omega_2 > \omega_1$ ），我们容易得到其理想冲激响应为

$$h_d(n) = \begin{cases} \frac{\sin[\omega_2(n-\tau)]}{\pi(n-\tau)} - \frac{\sin[\omega_1(n-\tau)]}{\pi(n-\tau)}, & n \neq \tau \\ \frac{\omega_2}{\pi} - \frac{\omega_1}{\pi}, & n = \tau (\tau \text{ 是整数}) \end{cases}$$

我们同样绘制一下时域上的表现（按 $N=33$ 截断）



参考代码为（不在附录中列出）

```
x_bp = ideallp(pi/3, N2) - ideallp(pi/4, N2);
figure
stem(0:N2-1, x_bp);
grid on
xlabel('n')
ylabel('h_d(n)')
title('\omega_2=\pi/3, \omega_1=\pi/4')
```

六、附录

代码地址见 <https://github.com/pacria/MatlabExp/blob/master/MatlabExp/DSP/exp4/Demo.m>

图片地址见 <https://github.com/pacria/MatlabExp/tree/master/MatlabExp/DSP/exp4/checkedSVG>

```
% EXPERIMENT RECIPE HERE
% EXP1
% Choose N = N1, N2; win_type = hanning

% EXP2
% Choose N = N2;
%win_type = rect; win_type = triang; win_type = hamming
```

预设变量区

```
% Pre-defined
N1 = 15;
N2 = 33;
N = N2;
omegaC = pi/4;
hanning = 'hn';
hamming = 'hm';
rect = 'r'; % Do nothing(Because it's already fixed to N point)
triang = 'tr'
win_type = hamming; % Choose one type (DEFAULT: hanning)
bianer = 3;
M = 2^ceil(log2(N)+bianer);
n = 0:N-1;
```

函数定义区

```
function [hd, tau] = ideallp(wc, N)
% Ideal low-pass digital filter(with cut-off angular frequency wc)
    tau = (N-1)/2;
    n = 0:N-1;
    m = n - tau + eps; % Avoid ZeroDivision Error
    hd = sin(wc * m)./(pi * m);
end
```

```
function [Hw, w, type] = amplres(h, M)

    N = length(h);
    L = floor((N-1)/2);
    h = h(:)';

    n = 1:L+1;
    w = (0:M)* 2 *pi /(M+1);

    if all(abs(h(n) - h(N - n + 1))<1e-10)
        % Class I(Type I or Type II)
        Hw = 2 * h(n) * cos(((N+1)/2 - n)' * w) - mod(N, 2) * h(L+1);
```

```

        type = 2 - mod(N, 2); %N - Even, type->2, N - Odd, type -> 1.
    elseif all(abs(h(n) - h(N - n + 1))<1e-10)&&(h(L+1) * mod(N, 2) == 0)
        Hw = 2 * h(n) * sin(((N+1)/2 - n)' * w);
        type = 4 - mod(N, 2); %N - Even, type->4, N - Odd, type -> 3.

    else error('Not a linear phase FIR filter');
    end
end

```

```

function w = choose_win_type(win_type, N)
    switch win_type
        case 'hn'
            w = hanning(N);
        case 'hm'
            w = hamming(N);
        case 'r'
            w = rectwin(N);
        case 'tr'
            w = triang(N);
    end
end

```

```

function [db, mag, pha, grd, w] = freqz_m(b, a, M)
    [H, w] = freqz(b, a, M*2, 'whole');
    H = H(1:M)'; w = w(1:M)';
    mag = abs(H);
    db = 20*log10((mag+eps)/max(mag));
    pha = angle(H);
    grd = grpdelay(b, a, w);

end

```

IDEAL LOWPASS

```

[hd, tau] = ideallp(omegaC, N);
[hdw, w, ~] = amplres(hd, M);
figure
subplot(2, 1, 1)
stem(n, hd)
xlabel('n')
ylabel('h(n)')
subplot(2, 1, 2)
plot(w/pi, hdw)
grid on
hold on
plot([omegaC/pi omegaC/pi], ylim)
hold off

```

```
xlabel('\omega/\pi')
legend('|H_d(\omega)|(Rect)', 'Cut-off frequency')
```

GET WINDOW

```
% Get window
wn = choose_win_type(win_type, N)';
[Hww, w, ~] = amplres(wn, M);
figure
subplot(2, 1, 1)
stem(n, wn)
xlabel('n')
ylabel('w(n)')
subplot(2, 1, 2)
plot(w/pi, Hww)
grid on
xlabel('\omega/\pi')
ylabel('|W(\omega)|')
```

FIR & ANALYSIS

```
% Get -h
h = wn.*hd; % Get your window
[hw, w, ~] = amplres(h, M);
figure
subplot(2, 1, 1)
stem(n, hd)
hold on
stem(n, h)
hold off
xlabel('n')
legend('H_d(n)', 'H(n)')
subplot(2, 1, 2)
plot(w/pi, hw)
grid on
hold on
plot([omegaC/pi omegaC/pi], ylim)
plot(w/pi, hdw)
hold off
xlabel('\omega/\pi')
legend('|H(\omega)|', '|H_d(\omega)|(Rect)', 'Cut-off frequency')
[db, mag, pha, grd, w] = freqz_m(h, [1], M);

figure
subplot(2, 2, 1)
stem(n, h)
xlabel('n')
ylabel('H(n)')
subplot(2, 2, 2)
```

```

plot(w/pi, db)
grid on
xlabel('\omega/\pi');
ylabel('20log(|H(w)|)/dB')
subplot(2, 2, 3)
plot(w/pi, mag)
grid on
xlabel('\omega/\pi')
ylabel('|H(w)|')
subplot(2, 2, 4)
plot(w/pi, pha)
xlabel('\omega/\pi')
ylabel('arg(|H(w)|)')

```